

doi: 10.7541/2022.2021.0245

## 三疣梭子蟹基因克隆及其在蜕皮中的功能

吴捷<sup>1,2</sup> 吕建建<sup>2,3</sup> 张伟伟<sup>1,2</sup> 李玉坤<sup>1,2</sup> 高保全<sup>2,3</sup> 刘萍<sup>2,3</sup>

(1. 上海海洋大学 水产科学国家级实验教学示范中心, 上海 201306; 2. 中国水产科学研究院黄海水产研究所, 农业农村部海洋渔业可持续发展重点实验室, 青岛 266071; 3. 青岛海洋科学与技术国家实验室, 海洋渔业科学与食物产出过程功能实验室, 青岛 266235)

**摘要:** 为研究水通道蛋白AQP的生理功能, 克隆了三疣梭子蟹(*Portunus trituberculatus*)水通道蛋白2基因(*ptaqp2*), 该基因全长4126 bp, 编码522个氨基酸, 具有水通道蛋白基因家族的保守结构域及功能结构域; 进化树聚类分析结果显示, *ptaqp2*基因属于水通道蛋白基因家族C-AQP类基因; 组织表达结果显示, *ptaqp2*呈泛组织表达特征, 在眼柄中的表达量最高, 在肠和肌肉中也有较高表达, 在血淋巴中的表达最低; *ptaqp2*基因在不同蜕皮时期呈显著差异表达( $P<0.05$ ), 且在蜕皮前期表达量最高; 在蜕皮激素(Molting Hormone简称MH)刺激下, 该基因在肌肉、肠及胃中均呈不同程度的上调表达趋势; 通过RNAi技术在蜕皮前期敲降*ptaqp2*的表达, 发现能够显著推迟蜕皮过程。研究初步证明了*ptaqp2*基因在三疣梭子蟹蜕皮中发挥重要作用。

**关键词:** 水通道蛋白; 基因克隆; 蜕皮激素; RNA干扰; 三疣梭子蟹

中图分类号: Q344<sup>+</sup>.1 文献标识码: A 文章编号: 1000-3207(2022)11-1694-07



水通道蛋白(Aquaporin, AQP)最早由Agre以及其同事发现并命名<sup>[1, 2]</sup>, 该蛋白是可以运输水和其他小分子物质的通道蛋白, 广泛存在于动、植物及微生物中。之前的研究证实AQP所介导的自由水快速被动地跨生物膜转运是水进出细胞的主要途径<sup>[3, 4]</sup>。目前发现了多种具有不同功能的AQP基因, 其中有的只与水的运输相关, 被称为“Classical aquaporins”(C-AQP), 有的除了能够运输水分子外还能介导大分子的甘油等物质运输, 称为“Aquaglyceroporins”(AQGP)<sup>[5]</sup>; 随后在哺乳动物中发现在细胞分化、凋亡等细胞活动中发挥作用的水通道蛋白, 称之为“Super aquaporins”或“Subcellular aquaporins”(S-AQP)<sup>[6]</sup>; 另外, AQP-8与氨的运输有关<sup>[7]</sup>, 被单独列为一个亚家族<sup>[8]</sup>。

在水产动物中, AQP基因的研究主要集中于渗透压调节或盐度适应功能。比如在莫桑比克罗非鱼(*Oreochromis mossambicus*)、刀鲚(*Coilia nasus*)和卵形鲳(*Trachinotus ovatus*)等鱼类中均发现AQP基因发挥重要的渗透压调节功能<sup>[9—11]</sup>。此外,

还发现该基因在鱼类低温适应中也具一定的作用<sup>[12, 13]</sup>。在水生甲壳动物中, AQP基因的克隆及功能研究也有零星报道。王渝等<sup>[14]</sup>在三疣梭子蟹克隆并证明了AQP基因在盐度适应中发挥作用。杨志刚等<sup>[15]</sup>克隆了中华绒螯蟹(*Eriocheir sinensis*)AQP并发现其在具有渗透压调节作用。然而, 该基因在甲壳动物中是否还具有其他功能, 相关报道较少。

水生甲壳动物的蜕皮伴随着大量水分进入体内。之前的研究发现蓝蟹(*Callinectes sapidus*)在蜕皮过程中大量水通过肠和胃进入生物体内<sup>[12]</sup>, 并初步证明了AQP参与了甲壳动物蜕皮过程中的细胞体积调节<sup>[16—18]</sup>。蜕皮激素(MH)是调控蜕皮的关键激素<sup>[19]</sup>, 然而, AQP基因在水生甲壳动物蜕皮吸水过程中是否受该激素调控尚未见报道。

三疣梭子蟹是我国重要的海水养殖品种<sup>[20]</sup>。本研究通过RACE技术克隆*ptaqp2*基因全长, 明确该基因的序列特征及组织表达分布模式。采用荧光定量PCR(qPCR)技术, 分析其在不同蜕皮时期以及MH刺激后的表达规律。利用RNAi技术敲降

收稿日期: 2021-09-16; 修订日期: 2022-06-24

基金项目: 国家重点研发计划(2018YFD0901304); 国家自然科学基金面上项目(41776160)资助 [Supported by the National Key Research and Development Program (2018YFD0901304); the National Natural Science Foundation of China (41776160)]

作者简介: 吴捷(1996—), 男, 硕士; 主要从事海水养殖生物种质资源与遗传育种研究。E-mail: 17806287246@163.com

通信作者: 刘萍, 女, 研究员; 主要从事海水养殖生物种质资源与遗传育种研究。E-mail: liuping@ysfri.ac.cn

$ptaqp2$ 基因的表达, 以研究其对蜕皮的影响。研究结果有助于深入解析水生甲壳动物的蜕皮机制。

## 1 材料与方法

### 1.1 实验材料

**实验动物** 三疣梭子蟹取自山东潍坊昌邑海丰水产有限公司, 蟹处于同一发育时期, 体重为( $35.5\pm5.5$ ) g。饲养在5个室内养殖用的蟹池(蟹池长为4 m, 宽为2.5 m, 高为1.3 m), 池中注入20 m<sup>3</sup>, 盐度为33, pH为8.3的自然海水, 每池100只, 暂养3d。水温控制在( $25\pm1$ )℃, 持续供氧, 每天下午定时换1/3体积的海水, 换水后定时投喂新鲜的蓝蛤(*Potamocorbula laevis*)。

**不同蜕皮周期材料制备** 根据甲壳硬度和游泳足趾节末端新旧表皮的变化<sup>[21]</sup>, 将暂养蟹分为蜕皮后期(A)、蜕皮间期(C)和蜕皮前期(D), 并各取3只, 分别解剖, 取肠、胃、肌肉和眼柄四个组织于液氮中保存。

**MH刺激后材料制备** 从暂养的蟹中, 挑选50只健康的三疣梭子蟹, 依据拟穴青蟹和三疣梭子蟹蜕皮时期的MH含量<sup>[22, 23]</sup>, 向三疣梭子蟹注射MH(注射部位游泳足基部, MH浓度为40 ng/mL), 注射MH激素后于0、24h、48h和72h随机挑选3只蟹解剖, 取肠、胃、肌肉和眼柄4个组织, 样品液氮保存。

### 1.2 RNA提取及反转录

采用Trizol法提取各个实验组的总RNA, 利用核酸定量仪(NanoDrop 2000 Thermo Scientific)检测RNA的浓度及质量, 通过1.0%的琼脂糖凝胶电泳检测其完整性。按照PrimeScript RT reagent Kit with gDNA Eraser试剂盒(TaKaRa)说明书进行反转录, 合成cDNA模板, 用于 $ptaqp2$ 基因定量分析。

### 1.3 基因克隆

随机选取9只暂养3d的三疣梭子蟹, 取心脏、表皮、胃、肝胰腺、血细胞(抽取的血淋巴加等量抗凝剂存于1.5 mL离心管, 4℃, 7000 r/min离心10min, 弃上清)、眼柄、肌肉、肠和鳃9个组织液氮储存备, 提取RNA并合成3'和5'RACE的cDNA模板, 通过实验室已有的该基因序列设计3'和5'RACE引物<sup>[24]</sup>, 引物由生工生物工程(上海)股份有限公司合成(表1)。反应体系参照Phanta Max Super-Fidelity DNA Polymerase说明书, 反应程序95℃3min; 95℃ 15s, 65℃ 15s, 72℃ 1min, 共35个循环; 72℃ 10min, 进行3'和5'扩增。对PCR产物进行切胶回收, 连接转化, 挑取阳性单克隆, 通过DNA测序通用引物M13进行菌落PCR鉴定, 将目的产物送睿

博生物公司进行测序。使用SeqMan软件去掉测序结果中的冗余序列后, 然后利用Cexpress软件拼接获得完整的基因序列。

### 1.4 序列分析

利用软件BioEdit预测ORF开放阅读框, 并翻译为蛋白序列; 将蛋白序列提交到SignalP 3.0 Server (<http://www.cbs.dtu.dk/services/SignalP/>), 预测信号肽; 通过NCBI的保守结构域(CDD)数据库(<http://www.ncbi.nlm.nih.gov/Structure/cdd/wrpsb.cgi>)、Pfam数据库(<http://pfam.xfam.org/search>)和SMART(<http://smart.embl-heidelberg.de/>)进行功能结构域的预测和确定; 采用TMHMM SerVer 2.0(<http://www.cbs.dtu.dk/services/TMHMM/>)进行跨膜结构预测。使用DNAMAN分析软件将三疣梭子蟹的氨基酸序列与其他物种进行多重序列比对; 最后通过软件MEGA 7.0以Neighbor Joining法构建系统进化树<sup>[25]</sup>。

### 1.5 qPCR分析

根据已知的三疣梭子蟹管家基因 $\beta$ -actin和以获得全长的 $ptaqp2$ 基因, 通过Primer Premier 5.0软件设计内参引物和荧光定量特异性引物(表1)。采用实时荧光定量PCR(qPCR)对 $ptaqp2$ 基因在各个组织以及各个实验组中的相对表达量进行检测分析, 反应体系为: 2×SYBR® Green Pro *Taq* HS Premix II 5 μL, ROX 0.2 μL, Primer F 0.4 μL, Primer R 0.4 μL, Template cDNA 1 μL, ddH<sub>2</sub>O 3 μL; 程序参照TOYOBO SYBR® Green Real-time PCR Master Mix说明书进行。结果采用 $2^{-\Delta\Delta Ct}$ 方法计算, 借助SPSS19.0对数据进行单因素方差分析(One-way ANOVA), 后续使用Origin Pro和Excel软件进行结

表1 实验所用的引物序列

Tab. 1 The sequence of primers used in the experiment

引物 Primer	序列Sequence(5'-3')	作用Usage
$ptaqp2$ F	TGCCAATTCTCATTATCACTTTGCCA ACAC	3'RACE
$ptaqp2$ R	GCAACCTACCCAAATGCTCAATAAC TACA	5'RACE
$ptaqp2q$ F	TCTTTCTTCCGTCAATCCCTACC	q-PCR
$ptaqp2q$ R	ACTTGTCTTGACGAAGGCTGG	q-PCR
UPM	CTAATACGACTCACTATAGGGC	RACE通用 引物
NUP	AAGCAGTGGTATCACCGCAGAGT	RACE通用 引物
$\beta$ -actin- F	CGAACCTTCAACACTCCCCG	q-PCR通用 引物
$\beta$ -actin- R	GGGACAGTGTGTGAAACGCC	q-PCR通用 引物
M13F	CGCCAGGGTTTCCCAGTCACGAC	DNA测序 通用引物
M13R	AGCGGATAACAATTACACAGGA	DNA测序 通用引物

果的统计与整理,  $P<0.05$ 为差异显著<sup>[26]</sup>。

### 1.6 RNAi实验

RNAi实验所用的双链RNA由生工生物工程(上海)股份有限公司设计及合成, *ptaqp2ai*: GGUCUGGAGUUUCUCUUAATT; *ptaqp2bi*: CCCAGUCAGUGUAUGCCAATT; *ptaqp2ci*: CCAGUAAGUCAGGUGUAUUTT; NC: UUCUCCGAACGUGUCACGUTT。将双链RNA浓度稀释为1 μg/μL, 并将3个双链RNA按等体积混合。随后选取处于蜕皮前期的三疣梭子蟹, 利用微量注射器按体重向游泳足基部注射(注射量为1 μg/g)。实验设计空白对照组、NC(阴性对照)对照组以及干扰实验组(实验持续10 d, 确保空白对照组蜕皮率达70%以上), 每组共3个平行, 分别于0、24 h和48 h取肠、胃、肌肉和肝胰腺于液氮保存, 并提取RNA<sup>[26]</sup>。

## 2 结果

### 2.1 *ptaqp2*基因的cDNA序列全长克隆及序列分析

*ptaqp2*基因cDNA序列全长4126 bp, 3'端和5'端非编码区分别为425和2132 bp, 开放阅读框(Open Reading Frame, ORF)为1569 bp, 共编码氨基酸522个, 分子质量56.17 kD, 理论等电点为8.84。保守结构域预测结果显示该基因具有MIP保守结构域pfam00230。Pfam数据库预测显示此基因有MIP功能结构域PF00230.20。跨膜结构预测显示, 该基因具有6个跨膜结构。

### 2.2 *ptaqp2*同源性分析

将*ptaqp2*的氨基酸序列与其他物种进行氨基酸序列比对: *ptaqp2*基因与人(*Homines*)AQP2、AQP4基因、小鼠(*Mus musculus*)AQP2、AQP4基因、黑腹果蝇(*Drosophila melanogaster*)的bib基因、埃及伊蚊(*Aedes aegypti*)的AQPe.a基因和大青叶蝉(*Cicadella viridis*)的AQP-cic基因同源性分别为43.36%、40.60%、42.92%、40.17%、43.32%、39.69%和38.40%。所有比对的基因都含有AQP所具有的两个保守的NPA序列。聚类分析表明(图1和图2), *ptaqp2*与黑腹果蝇(*Drosophila melanogaster*)的bib基因聚为一枝, 同属于水通道蛋白四大类中的C-AQP。

### 2.3 *ptaqp2*的组织表达特点

利用qPCR技术, 对*ptaqp2*基因进行全组织表达的分析(图3): *ptaqp2*呈泛组织表达, 在眼柄、肠、肌肉、心脏、表皮、胃、肝胰腺、血细胞及鳃中均有表达, 其中在眼柄中表达最高, 其次为肠和肌肉, 在血细胞和鳃中几乎不表达。

### 2.4 *ptaqp2*在不同蜕皮时期的表达规律

*ptaqp2*在4个组织(肌肉、肠、胃和眼柄)中都在蜕皮前期高表达。与蜕皮后期相比表达上调1.5倍左右, 差异显著( $P<0.05$ )。在蜕皮间期表达较低, 与蜕皮后期相比表达下调, 在肠、胃组织中与蜕皮后期相比分别下调了1倍和2倍, 差异显著( $P<0.05$ ), 但在肌肉与眼柄中差异不显著(图4)。

### 2.5 *ptaqp2*在MH刺激下的表达模式

在MH刺激后(图5), *ptaqp2*在眼柄中呈现下调表达趋势, 持续到72 h, 与0相比下调2倍左右, 差异显著( $P<0.05$ ); 除眼柄外的3个组织(肌肉、肠和胃)中都呈现出不同的上调表达趋势, 但表达趋势有所不同。在肌肉和胃中持续上调到72 h, 表达量最高时约为0的2倍, 差异显著( $P<0.05$ ); 在肠中24 h表达量达到最高约为0的2.5倍差异显著( $P<0.05$ ), 随后下调, 72 h时恢复正常表达水平。

### 2.6 *ptaqp2*敲降对蜕皮率的影响

注射双链RNA后(图6), 在3个组织(胃、肠和肌肉)中*ptaqp2*基因的表达均显著下调。其中在胃和肌肉组织中24 h时干扰效果最显著, 干扰效率分别为58.14%和51.50%, 在肠组织中48 h时干扰效果最显著, 干扰效率为55.40%, 但在眼柄中未发现干扰效果。在维持10 d的干扰实验结束后, 对照组、NC组和干扰组的蜕皮率分别为76.5%、84.6%和33.3%(图7)。干扰组蜕皮率显著降低( $P<0.05$ )。

## 3 讨论

AQP广泛存在于植物、单细胞生物、无脊椎动物和脊椎动物中, 能够高效转运水, 在多种生理过程中发挥重要作用。有研究发现AQP在甲壳动物不同蜕皮时期差异表达, 且与 $\text{Na}^+/\text{K}^+$ -ATPase和 $\text{Na}^+/\text{K}^+/2\text{Cl}^-$ 等渗透压调控相关基因具有共表达趋势<sup>[16]</sup>, 相关研究表明AQP与甲壳动物的蜕皮密切相关<sup>[17-19]</sup>。为进一步探究AQP在蜕皮中的功能, 本研

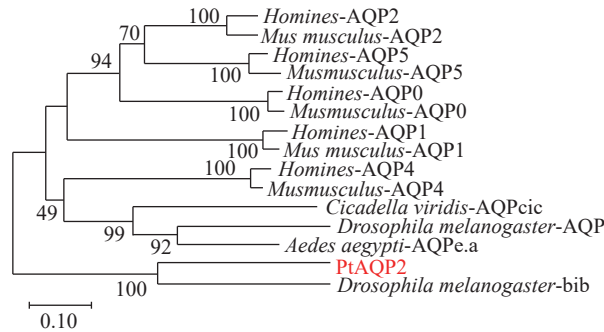


图1 三疣梭子蟹水通道蛋白*ptaqp2*的系统进化树

Fig. 1 Phylogenetic analysis of aquaporin *ptaqp2* from *P. tri-tuberculatus*

究首次克隆了 $ptaqp2$ 基因,该基因与果蝇的bib基因聚为一枝,与 $PtAQPI$ 基因<sup>[14]</sup>的同源性在20%左右,但二者均具有两个保守的NPA结构域,同属于水通道蛋白的C-AQP大类的基因。

水生甲壳动物在蜕皮时大量饮水,之后主要通过肠腺和胃进入生物体内<sup>[16]</sup>,其主要表现在肌肉吸水膨胀。相关研究表明AQP与甲壳动物的蜕皮有关且参与了的肌肉细胞体积调节<sup>[12-14]</sup>。在本研究

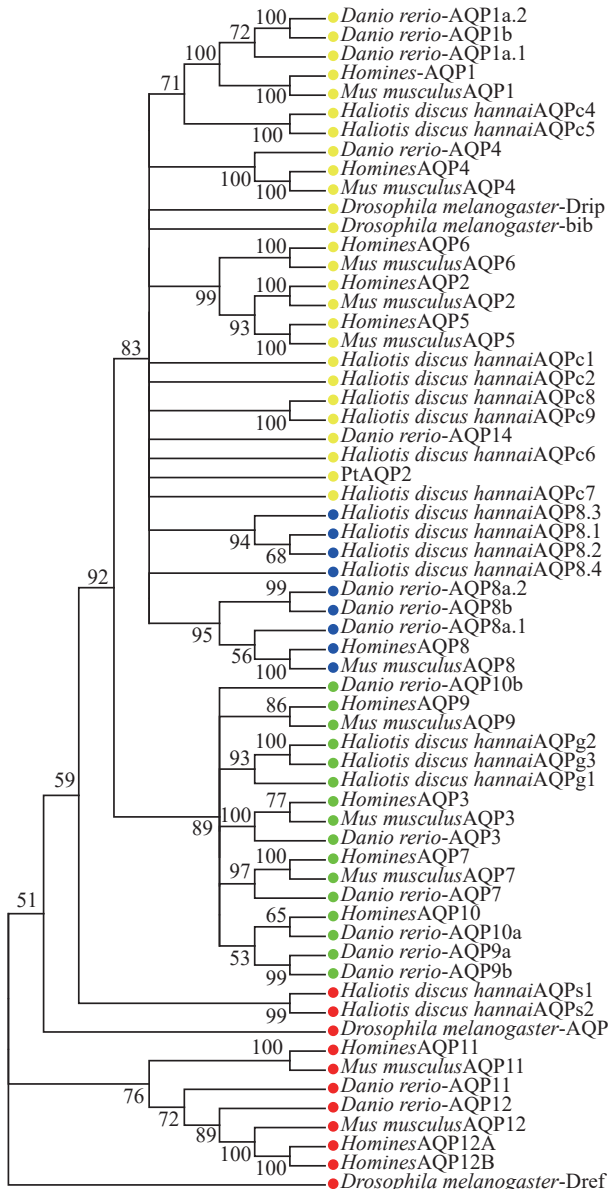


图 2 三疣梭子蟹水通道蛋白 $ptagp2$ 聚类分析

Fig. 2 Cluster analysis of *Ptaqp2* in *P. trituberculatus*

各个蛋白对应的GenBank登录号: 黑腹果蝇(*Drosophila melanogaster*)Drip、AQP、Dref、bib(NP\_523697.1、NP\_001163140.1、NP\_001260311.1、NP\_001260313.1); 人(*Homines*)AQP0、AQP1、AQP2、AQP3、AQP4、AQP5、AQP6、AQP7、AQP8、AQP9、AQP10、AQP11、AQP12A、AQP12B(NP\_036196.1、NP\_001316801.1、NP\_000477.1、NP\_001305073.1、NP\_001304313.1、NP\_001642.1、NP\_001643.2、O14520.1、NP\_001160.2、NP\_001307564.1、XP\_011508406.1、NP\_766627.1、NP\_945349.1、XP\_011509974.1); 小鼠(*Mus musculus*)AQP0、AQP1、AQP2、AQP3、AQP4、AQP5、AQP6、AQP7、AQP8、AQP9、AQP11、AQP12(NP\_032626.2、NP\_031498.1、NP\_033829.3、NP\_057898.2、NP\_001295570.1、NP\_033831.1、NP\_780296.1、NP\_001365567.1、NP\_001102515.1、NP\_001258772.1、NP\_780314.1、NP\_001153130.1); 斑马鱼(Zebrafish)AQP1a.1、AQP3a、AQP4、AQP3b、mipa、AQP8a.1、AQP1a.2、mipb、AQP10a、AQP7、AQP9b、AQP9a、AQP8a.2、AQP12、AQP11、AQP8b、AQP10b、AQP5like(NP\_996942.1、AOE47042.1、NP\_001345242.1、NP\_001159593.1、NP\_001003534.1、NP\_001004661.1、NP\_001129154.1、NP\_001018356.1、NP\_001002349.1、NP\_956204.2、NP\_001171215.1、NP\_001028268.1、NP\_001073651.1、NP\_001039327.1、NP\_001314822.1、NP\_001108382.2、NP\_001076516.1、XP\_021327889.1); 埃及伊蚊(*Aedes aegypti*)AQP<sub>e</sub>a(Q9NHW7.2); 大青叶蝉(*Cicadella viridis*)AQP-cic(Q23808.1)

中, 我们发现 $ptaqp2$ 在眼柄、肌肉、肠和胃中有较高水平的表达, 而上述组织均与甲壳动物的蜕皮密切相关。另外, 该基因在上述组织不同蜕皮时期显著差异表达, 其中在蜕皮前期表达量最高, 相关文献表明蜕皮激素(MH)相关的调节基因在蜕皮前期上调表达, 蜕皮前期是、蜕皮过程重要的准备阶段<sup>[19]</sup>, 而 $ptaqp2$ 基因受MH调节, 推测其在蜕皮前期高表达, 主要发挥准备作用。这表明 $ptaqp2$ 基因在三疣梭子蟹蜕皮中发挥一定功能。

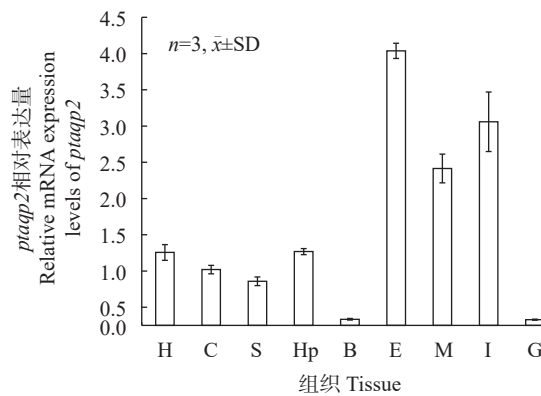


图3 三疣梭子蟹 $ptaqp2$ 基因在不同组织中的表达分析

Fig. 3 Relative mRNA expression level of *P. trituberculatus*  $ptaqp2$  gene in different tissues

H. 心脏; C. 表皮; S. 胃; Hp. 肝胰腺; B. 血细胞; E. 眼柄; M. 肌肉; I. 肠; G. 鳃

H. Heart; C. Cuticle; S. Stomach; Hp. Hepatopancreas; B. Blood; E. Eyestalk; M. Muscle; I. Intestine; G. Gill

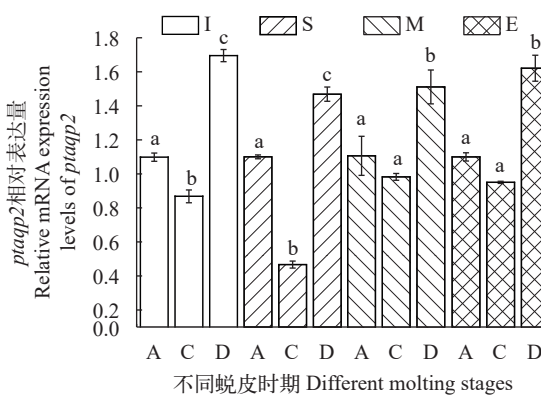


图4 三疣梭子蟹 $ptaqp2$ 基因在不同蜕皮时期组织中的表达分析

Fig. 4 Relative mRNA expression level of  $ptaqp2$  in *P. trituberculata* at different molting periods

A. 蜕皮后期; C. 蜕皮间期; D. 蜕皮前期; M. 肌肉; I. 肠; S. 胃; E. 眼柄; 不同字母表示组间差异显著( $P<0.05$ ), 相同字母表示组间差异不显著;  $n=3, \bar{x} \pm SD$ ; 下同

A. Post-molt stages; C. Intermolt stage; D. Proecdysis stage; M. Muscle; I. Intestines; S. Stomach; E. Eyestalk; Different letters indicate significant differences ( $P<0.05$ ). Same letters indicate no significant differences. The same applies below

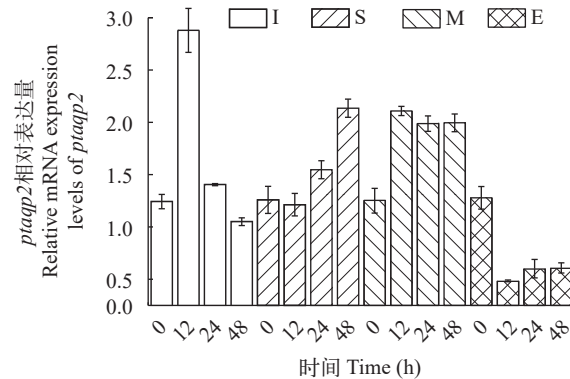


图5 MH刺激下三疣梭子蟹 $ptaqp2$ 在不同组织中的表达特点

Fig. 5 Relative mRNA expression level of  $ptaqp2$  in different tissues of *P. trituberculata* stimulated by MH

M. 肌肉; I. 肠; S. 胃; E. 眼柄

M. Muscle; I. Intestines; S. Stomach; E. Eyestalk

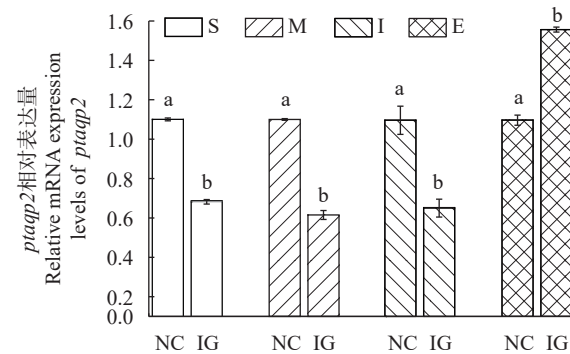


图6 三疣梭子蟹 $ptaqp2$ 基因干扰后的表达分析

Fig. 6 Relative mRNA expression level of  $ptaqp2$  after interference in *P. tritomatis*

NC. 阴性对照; IG. 干扰组; S. 胃; M. 肌肉; I. 肠; E. 眼柄

NC. Negative control; IG. Interference group; S. Stomach; M. Muscle; I. Intestines; E. Eyestalk

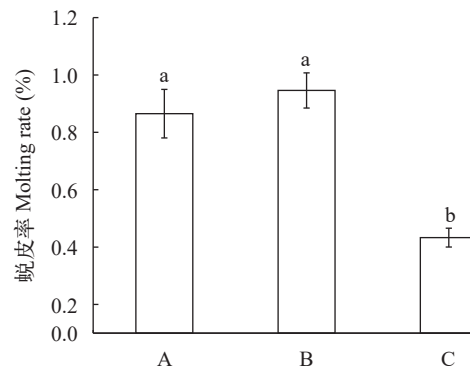


图7 蜕皮率统计

Fig. 7 Moulting rate of different experimental groups

A. 对照组; B. 阴性对照组; C. 干扰组

A. Control group; B. Negative control group; C. Interference group

蜕皮激素(MH)是蜕皮调控的重要激素, MH从蜕皮间期开始分泌产生, 在蜕皮前期达到最大, 蜕皮后期消失<sup>[20]</sup>。为了验证AQP基因是否受MH的调控, 我们进行了MH刺激实验。结果发现: 在MH刺激下, *ptaqp2*基因在肠、胃和肌肉中的表达均显著上调。尤其是在肌肉中, 处理后24h开始上调表达并一直持续到72h。该结果与不同蜕皮时期的表达结果一致, 表明MH能够刺激*ptaqp2*基因上调表达, 在三疣梭子蟹蜕皮过程中的吸水环节发挥重要作用。值得注意的是, 我们观察到MH刺激后*ptaqp2*基因在眼柄中的表达呈下调表达。甲壳动物的蜕皮过程主要是由Y器(Y-organ)分泌的蜕皮类固醇激素MH与X器-窦腺复合体(X-organ-sinus gland, XO-SG)分泌的蜕皮抑制激素MIH相互拮抗而进行调控的, 其中XO-SG甲器官位于眼柄中。我们推测在注射MH后, 导致体内MH水平骤升, 可能诱导X器官有限的分泌MIH激素, 而AQP基因的表达可能会在这一过程中受到抑制。

为了进一步证实*ptaqp2*基因在蜕皮中的功能, 我们采用RNAi技术敲降了该基因在蜕皮前期的表达量。定量结果显示, 该基因在肌肉、胃和肠组织中均被显著敲降。我们发现*ptaqp2*基因敲降组的蜕皮率显著低于对照组和NC组( $P<0.05$ ), 进一步明确了*ptaqp2*基因在三疣梭子蟹蜕皮中发挥重要作用。

综上所述, 本研究成功克隆了三疣梭子蟹*ptaqp2*基因cDNA全长序列并分析了该基因的功能结构域和跨膜结构域, 丰富了甲壳动物水通道蛋白基因家族。通过分析*ptaqp2*基因的组织表达特征、不同蜕皮时期的表达规律、MH刺激后的表达模式及RNAi后的蜕皮情况, 探究了该基因在三疣梭子蟹蜕皮中的功能及可能的调控机制。研究结果有助于系统解析水生甲壳动物的蜕皮机制。

## 参考文献:

- [1] Denker B M, Smith B L, Kuhajda F P, et al. Identification, purification, and partial characterization of a novel Mr 28, 000 integral membrane protein from erythrocytes and renal tubules [J]. *The Journal of Biological Chemistry*, 1988, **263**(30): 15634-15642.
- [2] Preston G M, Carroll T P, Guggino W B, et al. Appearance of water channels in Xenopus oocytes expressing red cell CHIP28 protein [J]. *Science*, 1992, **256**(5055): 385-387.
- [3] Wang W D. Aquaporin [J]. *Bulletin of Biology*, 2002, **37**(6): 24-25. [王卫东. 水通道蛋白 [J]. *生物学通报*, 2002, **37**(6): 24-25.]
- [4] Henzler T, Steudle E. Reversible closing of water channels in Chara internodes provides evidence for a composite transport model of the plasma membrane [J]. *Journal of Experimental Botany*, 1995, **46**(2): 199-209.
- [5] Agre P, King L S, Yasui M, et al. Aquaporin water channels—from atomic structure to clinical medicine [J]. *The Journal of Physiology*, 2002, **542**(Pt 1): 3-16.
- [6] Ishibashi K, Koike S, Kondo S, et al. The role of a group III AQP, AQP11 in intracellular organelle homeostasis [J]. *The Journal of Medical Investigation*, 2009, **56**(Suppl): 312-317.
- [7] Saparov S M, Liu K, Agre P, et al. Fast and selective ammonia transport by aquaporin-8 [J]. *Journal of Biological Chemistry*, 2007, **282**(8): 5296-5301.
- [8] Finn R N, Chauvigné F, Hlidberg J B, et al. The lineage-specific evolution of aquaporin gene clusters facilitated tetrapod terrestrial adaptation [J]. *PLoS One*, 2014, **9**(11): e113686.
- [9] Li Q Q, Zhu H P, Lu M X, et al. Effects of salt stress on aquaporin 1(AQP1) gene expression in tilapia *Oreochromis mossambicus* [J]. *Genomics and Applied Biology*, 2016, **35**(11): 2996-3006. [李茜茜, 朱华平, 卢迈新, 等. 盐胁迫对橙色莫桑比克罗非鱼AQP1基因表达的影响 [J]. 基因组学与应用生物学, 2016, **35**(11): 2996-3006.]
- [10] Wang M Y, Yang J, Xu P, et al. Molecular cloning and expression analysis of aquaporin-1 from the Coilia nasus under high-salinity conditions [J]. *Journal of Fishery Sciences of China*, 2017, **24**(3): 449-458. [王美垚, 杨健, 徐跑, 等. 刀鲚水通道蛋白1的分子克隆及高盐作用下的表达分析 [J]. *中国水产科学*, 2017, **24**(3): 449-458.]
- [11] Zhang J S, Liu Z F, Ma A J, et al. Response of aquaporin (AQP1, AQP3) and ion channel protein (CFTR, NHE1) of turbot (*Scophthalmus maximus*) to low-salinity stress [J]. *Progress in Fishery Sciences*, 2020, **41**(4): 41-49. [张金生, 刘志峰, 马爱军, 等. 大菱鲆水通道蛋白(AQP1、AQP3)以及离子通道蛋白(CFTR、NHE1)对低盐胁迫的响应 [J]. 渔业科学进展, 2020, **41**(4): 41-49.]
- [12] Zhu H P, Liu Y J, Liu Z G, et al. Effects of cold stress on Aquaporin gene (AQP1) expression in tilapia *Oreochromis niloticus* [J]. *Journal of Fishery Sciences of China*, 2014, **21**(6): 1181-1189. [朱华平, 刘玉姣, 刘志刚, 等. 低温胁迫对尼罗罗非鱼水通道蛋白基因(AQP1)表达的影响 [J]. *中国水产科学*, 2014, **21**(6): 1181-1189.]
- [13] Shi Yingdi, Li Xiaoxia, Luo Juntao, et al. Expression and epigenetic regulation of water channel protein 1a (AQP1a) under cold pressure [C]. Abstracts of Papers Presented at the Annual Conference of Chinese Fisheries Association in 2015. Hangzhou, 2015: 343. [时应娣, 李晓霞, 罗军涛, 等. 低温压力下水通道蛋白(AQP1a)基因的表达表观调控及表达量变化调控的初步探讨 [C]. 2015年中国水产学会学术年会论文摘要集. 杭州, 2015: 343.]
- [14] Wang Y, Lu J J, Liu P, et al. Cloning and characterization of aquaporins 1 and its expression analysis under salinity stress in *Portunus trituberculatus* [J]. *Journal of Fishery Sciences of China*, 2014, **21**(5): 893-901. [王渝, 吕建建, 刘萍, 等. 三疣梭子蟹水通道蛋白1 cDNA及其盐度胁迫下的表达分析 [J]. *中国水产科学*, 2014, **21**(5): 893-901.]
- [15] Yang Z G, Zhang L, Chen C Y, et al. Study on cloning,

- expression and RNA interference of aquaporin 1 gene of *Eriocheir sinensis* [J]. *Journal of Fudan University (Natural Science)*, 2021, **60**(1): 93-101. [杨志刚, 张龙, 陈春宇, 等. 中华绒螯蟹水通道蛋白1基因的克隆、表达及RNA干扰研究 [J]. 复旦学报(自然科学版), 2021, **60**(1): 93-101.]
- [16] Liu L, Liu X, Fu Y, et al. Transcriptome analysis of the whole body provides novel insights into the molecular mechanisms of growth, immunity, and metabolism during the molting cycle of the juvenile mud crab *Scylla paramamosain* [J]. *Scientific Reports*, 2022(12): 11395.
- [17] Neufeld D, Cameron J. Mechanism of the net uptake of water in moulting blue crabs (*Callinectes sapidus*) acclimated to high and low salinities [J]. *The Journal of Experimental Biology*, 1994, **188**(1): 11-23.
- [18] Wilder M N, Do Thi Thanh Huong, Jasmani S, et al. Hemolymph osmolality, ion concentrations and calcium in the structural organization of the cuticle of the giant freshwater prawn *Macrobrachium rosenbergii*: changes with the molt cycle [J]. *Aquaculture*, 2009, **292**(1/2): 104-110.
- [19] Foguesatto K, Boyle R T, Rovani M T, et al. Aquaporin in different moult stages of a freshwater decapod crustacean: expression and participation in muscle hydration control [J]. *Comparative Biochemistry and Physiology Part A: Molecular & Integrative Physiology*, 2017, **208**: 61-69.
- [20] Chang E S, Mykles D L. Regulation of crustacean molting: a review and our perspectives [J]. *General and Comparative Endocrinology*, 2011, **172**(3): 323-330.
- [21] Sun Y M, Yan Y, Sun J J. The larval development of *Portunus trituberculatus* [J]. *Journal of Fisheries of China*, 1984, **8**(3): 219-226. [孙颖民, 闫愚, 孙进杰. 三疣梭子蟹的幼体发育 [J]. 水产学报, 1984, **8**(3): 219-226.]
- [22] Shen J, Zhu D F, Hu Z H, et al. Molt staging in the swimming crab *Portunus trituberculatus* [J]. *Journal of Fisheries of China*, 2011, **35**(10): 1481-1487. [沈洁, 朱冬发, 胡则辉, 等. 三疣梭子蟹蜕皮周期的分期 [J]. 水产学报, 2011, **35**(10): 1481-1487.]
- [23] Xu B P. The functional study of the ions transport related molecules in *Scylla paramamosain* during the molt cycle [D]. Hangzhou: Zhejiang University, 2016. [徐宾朋. 拟穴青蟹蜕皮周期中离子转运相关基因的研究 [D]. 杭州: 浙江大学, 2016.]
- [24] Wang C J, Zhu D F, Qi Y Z, et al. Molt-inhibiting hormone levels and ecdysteroid titer during a molt cycle of *Portunus trituberculatus* [J]. *Acta Hydrobiologica Sinica*, 2013, **37**(1): 22-28. [汪春建, 朱冬发, 亓一舟, 等. 三疣梭子蟹蜕皮周期中MIH基因mRNA水平与蜕皮激素浓度变化 [J]. 水生生物学报, 2013, **37**(1): 22-28.]
- [25] Song L, Zhang F, Lü J J, et al. Cloning and functional identification of chitinase gene 1 in swimming crab *Portunus trituberculatus* [J]. *Progress in Fishery Sciences*, 2021, **42**(1): 144-153. [宋柳, 张凤, 吕建建, 等. 三疣梭子蟹几丁质酶基因1的克隆及功能鉴定 [J]. 渔业科学进展, 2021, **42**(1): 144-153.]
- [26] Duan Y F, Liu P, Li J T, et al. Cloning and expression analysis of Cathepsin L cDNA of *Exopalaemon carinicauda* [J]. *Zoological Research*, 2013, **34**(1): 39-46. [段亚飞, 刘萍, 李吉涛, 等. 脊尾白虾组织蛋白酶L基因的克隆及其表达分析 [J]. 动物学研究, 2013, **34**(1): 39-46.]

## CLONING OF AQP2 GENE OF *PORTUNUS TRITUBERCULATUS* AND ITS FUNCTION IN MOLTING

WU Jie<sup>1,2</sup>, LÜ Jian-Jian<sup>2,3</sup>, ZHANG Wei-Wei<sup>1,2</sup>, LI Yu-Kun<sup>1,2</sup>, GAO Bao-Quan<sup>2,3</sup> and LIU Ping<sup>2,3</sup>

(1. National Demonstration Center for Experimental Fisheries Science Education, Shanghai Ocean University, Shanghai 201306, China; 2. Key Laboratory of Sustainable Development of Marine Fisheries, Ministry of Agriculture, Yellow Sea Fisheries Research Institute, Chinese Academy of Fisheries Science, Qingdao 266071, China; 3. Qingdao National Laboratory of Marine Science and Technology, Functional Laboratory of Marine Fishery Science and Food Production Process, Qingdao 266235, China)

**Abstract:** In order to study the physiological function of aquaporin AQP, the aquaporin 2 gene (*ptaqp2*) of *Portunus trituberculatus* was cloned, which is full-length 4126 bp, encodes 522 amino acids and has the conserved domain and functional domain of aquaporin gene family. Cluster analysis showed that *ptaqp2* gene belonged to C-AQP gene of aquaporin gene family. The results of tissue expression showed that the expression of *ptaqp2* was the highest in eye stalk, the highest in intestine and muscle, and the lowest in hemolymph. The expression of *ptaqp2* gene was significantly different in different molting stages, and the highest expression was in the early stage of molting. Under the stimulation of Molting Hormone (MH), the expression of *ptaqp2* gene was up-regulated in muscle, intestine and stomach. By knocking down the expression of *ptaqp2* in the early stage of molting by RNAi technique, it was found that it could significantly delay the molting process. It has been preliminarily proved that *ptaqp2* gene plays an important role in molting of *Portunus trituberculatus*.

**Key words:** Aquaporin; Gene cloning; Molting Hormone; RNAi; *Portunus trituberculatus*